

Planches

Autor(en): **[s.n.]**

Objektyp: **Appendix**

Zeitschrift: **Eclogae Geologicae Helvetiae**

Band (Jahr): **69 (1976)**

Heft 3

PDF erstellt am: **21.07.2024**

Nutzungsbedingungen

Die ETH-Bibliothek ist Anbieterin der digitalisierten Zeitschriften. Sie besitzt keine Urheberrechte an den Inhalten der Zeitschriften. Die Rechte liegen in der Regel bei den Herausgebern.

Die auf der Plattform e-periodica veröffentlichten Dokumente stehen für nicht-kommerzielle Zwecke in Lehre und Forschung sowie für die private Nutzung frei zur Verfügung. Einzelne Dateien oder Ausdrucke aus diesem Angebot können zusammen mit diesen Nutzungsbedingungen und den korrekten Herkunftsbezeichnungen weitergegeben werden.

Das Veröffentlichen von Bildern in Print- und Online-Publikationen ist nur mit vorheriger Genehmigung der Rechteinhaber erlaubt. Die systematische Speicherung von Teilen des elektronischen Angebots auf anderen Servern bedarf ebenfalls des schriftlichen Einverständnisses der Rechteinhaber.

Haftungsausschluss

Alle Angaben erfolgen ohne Gewähr für Vollständigkeit oder Richtigkeit. Es wird keine Haftung übernommen für Schäden durch die Verwendung von Informationen aus diesem Online-Angebot oder durch das Fehlen von Informationen. Dies gilt auch für Inhalte Dritter, die über dieses Angebot zugänglich sind.

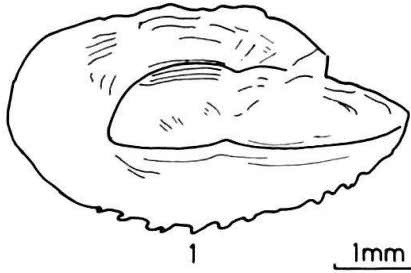
Explication des planches

Abréviations utilisées: G = Otolithe gauche
D = Otolithe droite
I = Face interne
E = Face externe

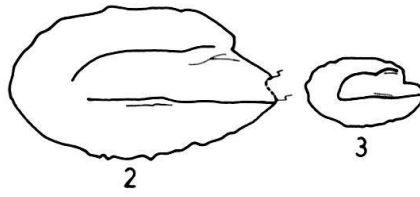
Tous les numéros mentionnés se réfèrent aux collections du Musée d'Histoire Naturelle de Bâle (Suisse).

Planche I

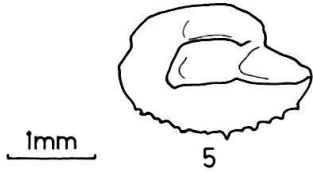
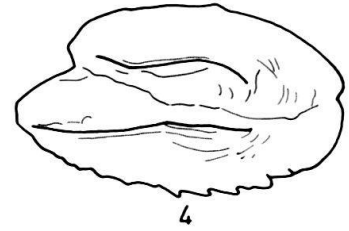
Fig. 1	<i>Anchoa hepseta</i> (LINNAEUS, 1758) G. I., actuel, côtes de la Floride. (coll. J. E. Fitch).	712
Fig. 2-4	<i>Anchoa</i> sp. II 2 G. I., Formation de Morne l'Enfer, point 21, éch. n° 675 (SA 1427) 3 G. I., Formation de Brasso, point 13, éch. K 11035. (SA 1426) 4 D. I., Formation de Springvale, point 18, éch. K. R. 11862. (SA 1429)	712
Fig. 5	<i>Anchoa mitchilli</i> (VALENCIENNES, 1848) G. I., actuel, côtes de la Floride. (coll. J. E. Fitch).	712
Fig. 6-9	<i>Anchoa</i> sp. 1 6 G. I., Formation de Morne l'Enfer, point 21, éch. n° 675. (SA 1430) 7 G. I., Formation de Morne l'Enfer, point 21, éch. n° 675. (SA 1431) 8 D. I., Formation de Manzanilla, point 16, éch. K. 10842. (SA 1432) 9 D. I., Formation de Manzanilla, point 16, éch. K. 12042. (SA 1433)	712
Fig. 10	<i>Cetengraulis edentulus</i> (CUVIER, 1829) D. I., actuel, côtes du Vénézuéla. (coll. D. Nolf).	713
Fig. 11-12	<i>Cetengraulis</i> sp. 11 G. I., Formation de Manzanilla, point 16, éch. K. 12041. (SA 1434) 12 D. I., Formation de Manzanilla, point 16, éch. K. 12054. (SA 1435)	712
Fig. 13	<i>Ilisha africana</i> (BLOCH, 1795) G. I., actuel, côtes du Zaïre. (coll. D. Nolf).	713
Fig. 14	<i>Ilisha</i> sp. G. I., Formation de Brasso, point 10, éch. K. R. 9244. (SA 1436)	713
Fig. 15	<i>Ophistonema oglinum</i> (LE SUEUR, 1817) D. I., actuel, côtes du Vénézuéla. (coll. D. Nolf).	713
Fig. 16	<i>Ophistonema</i> aff. <i>oglinum</i> (LE SUEUR, 1817) D. I., Formation de Brasso, point 28, éch. K. R. 6666. (SA 1437)	713



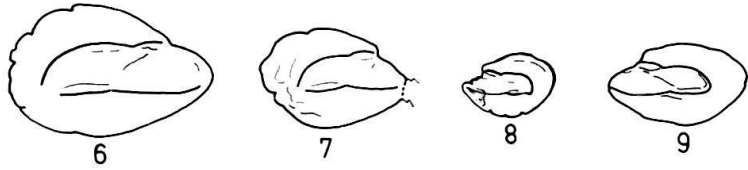
Anchoa hepseta (LINNAEUS,C.,1758)



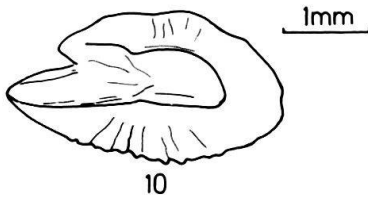
Anchoa sp.II



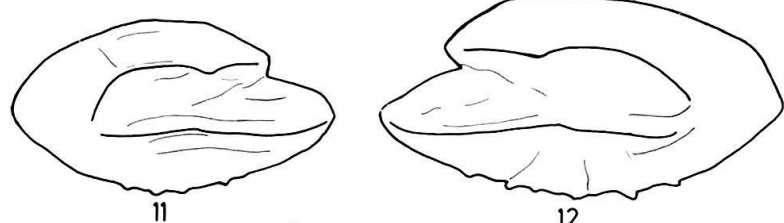
Anchoa mitchilli
(VALENCIENNES,A.,1848)



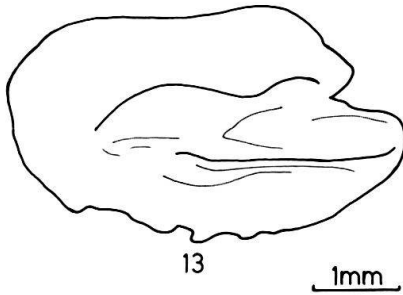
Anchoa sp.I



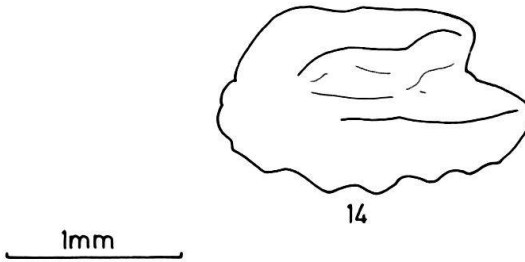
Cetengraulis edentulus
(CUVIER,G.,1829)



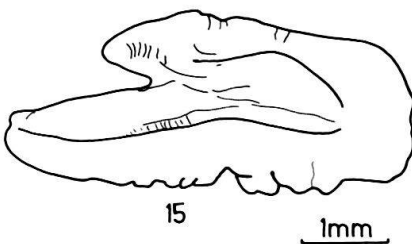
Cetengraulis sp.



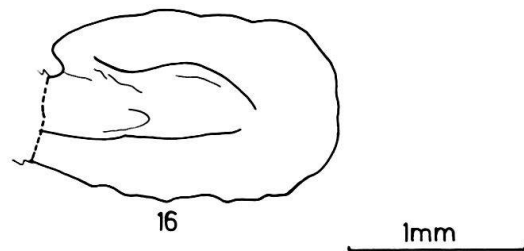
Ilisha africana (BLOCH,M.E.,1795)



Ilisha sp.



Ophistonema oglinum
(LE SUEUR,C.A.,1817)



Ophistonema aff. *oglinum* (LE SUEUR,C.A.,1817)

Planche II

Fig. 1	Muraenesocidae ind. G. I., Formation de Morne l'Enfer, point 21, éch. n 675. (SA 1438)	714
Fig. 2	<i>Ariosoma</i> sp. G. I., Formation de Manzanilla, point 12, éch. K. R. 25971. (SA 1439)	714
Fig. 3	«genus Congridarum» sp. II G. I., Formation de Nariva, point 17, éch. K. R. 25953. (SA 1440)	715
Fig. 4	«genus Congridarum» sp. III D. I., Formation de Manzanilla, point 16, éch. K. 12054. (SA 1441)	715
Fig. 5-7	<i>Gnathophis</i> sp. 5 D. I., Formation de Brasso, point 11, éch. Cb. 1855. (SA 1442) 6 G. I., Formation de Brasso, point 28, éch. K. R. 6666. (SA 1443) 7 D. I., Formation de Brasso, point 11, éch. Cb. 1855. (SA 1444)	714
Fig. 8-10	«genus Congridarum» sp. I 8 G. I., Formation de Nariva, point 17, éch. Cb. 15903. (SA 1445) 9 G. I., Formation de Brasso, point 20, éch. Cb. 1852. (SA 1446) 10 D. I., Formation de Nariva, point 17, éch. K. R. 25953. (SA 1447)	715
Fig. 11	<i>Arius felis</i> LINNAEUS, 1758 D. I., lapilus, actuel, Golfe du Mexique. (coll. D. Nolf).	716
Fig. 12	<i>Arius</i> aff. <i>felis</i> LINNAEUS, 1758 12a lapilus vu par le bord ventral. Formation de Springvale, point 18, éch. K. R. 11862. (SA 1448) 12b ibidem, G. I.	716
Fig. 13-14	<i>Arius</i> sp. 13 G. I., Formation de Manzanilla, point 3, éch. Cb. 2076. (SA 1449) 14 D. I., lapilus, point 1, Formation de Springvale, Sondage ABM5 à 60 ft. (SA 1450)	716
Fig. 15-17	<i>Arius spixii</i> AGASSIZ, 1829 15 G. I., lapilus, actuel, côtes du Vénézuéla. (coll. D. Nolf). 16 G. I., lapilus, Formation de Manzanilla, point 14, éch. K. 12301. (SA 1451) 17 D. I., lapilus, Formation de Springvale, point 18, éch. K. R. 11862. (SA 1452)	716
Fig. 18-19	<i>Selenaspis herzbergi</i> (BLOCH, 1794) 18 D. I., lapilus, actuel, côtes du Vénézuéla. (coll. D. Nolf). 19a D. I., lapilus, Formation de Manzanilla, point 25, éch. Cb. 1633. (SA 1453) 19b ibidem, vu par le bord ventral.	717

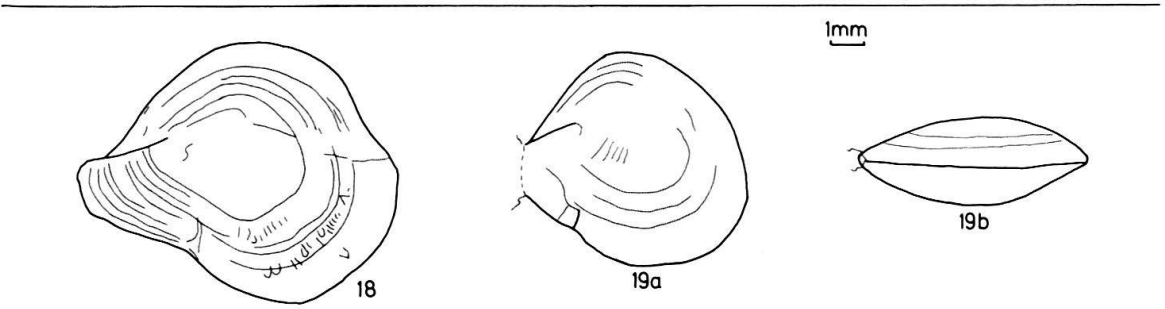
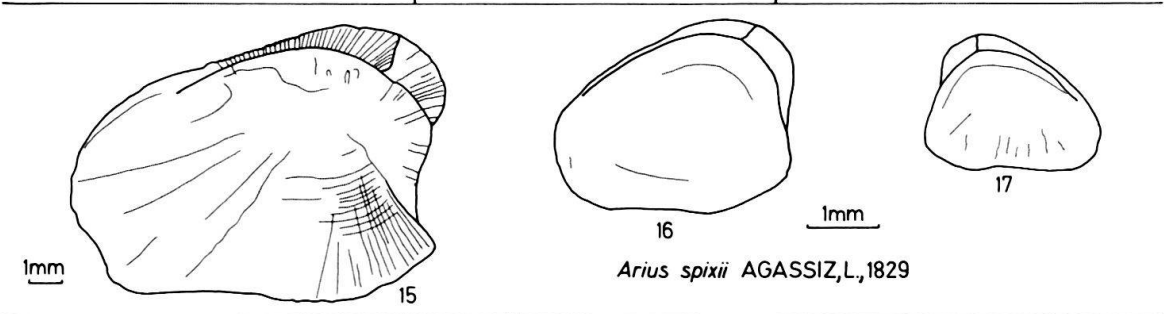
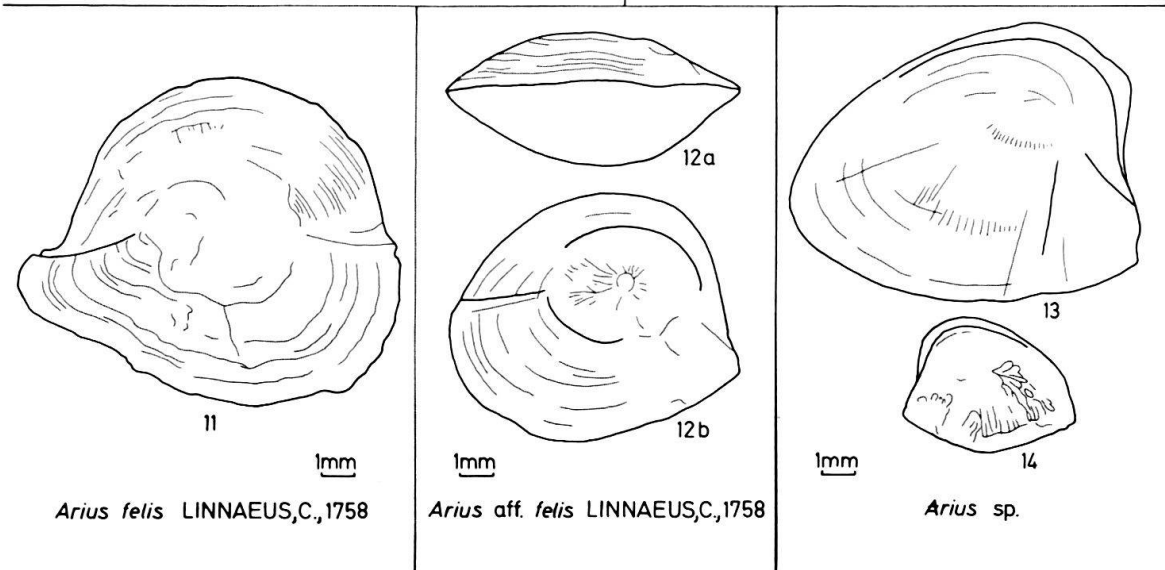
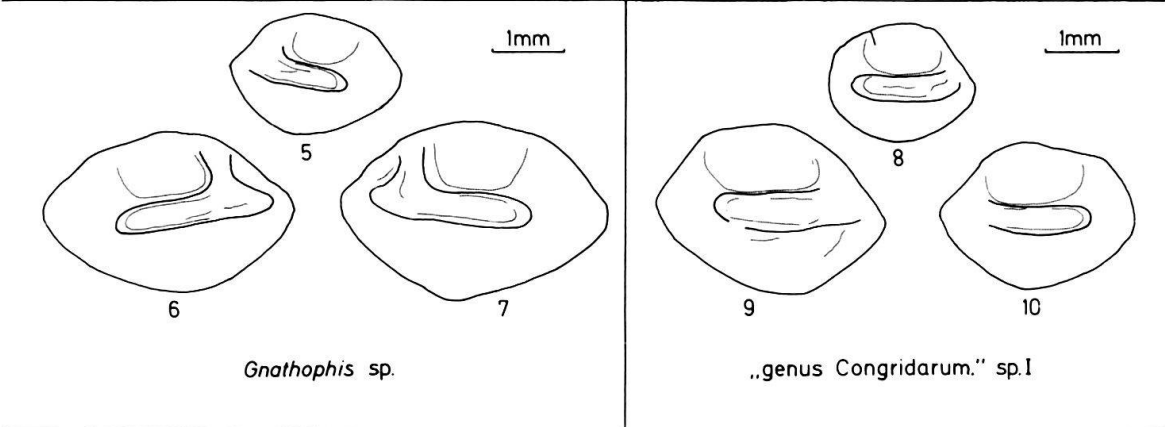
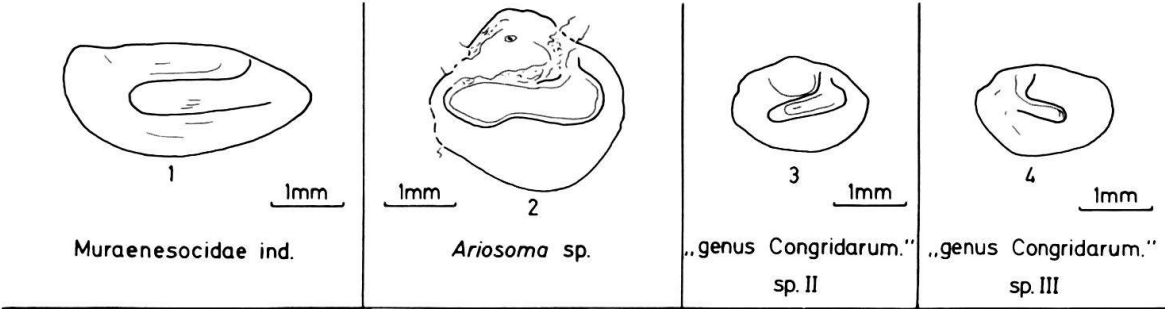
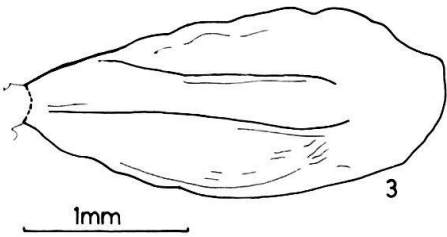
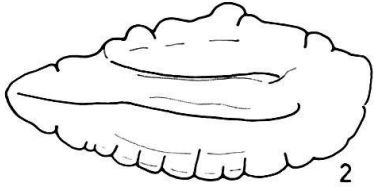
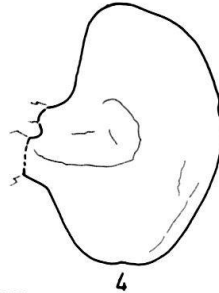


Planche III

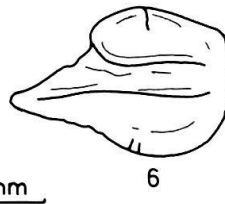
Fig. 1-3	<i>Saurida</i> aff. <i>caribbaea</i> BREDER, 1927 1 G. I., Formation de Nariva, point 17, éch. K. R. 25953. (SA 1454) 2 D. I., Formation de Nariva, point 17, éch. K. R. 25953. (SA 1455) 3 D. I., Formation de Nariva, point 17, éch. K. R. 25953. (SA 1456)	719
Fig. 4	<i>Polyipnus</i> sp. D. I., Formation de Nariva, point 17, éch. K. R. 25930. (SA 1457)	717
Fig. 5	<i>Polymetme</i> cf. <i>corythaeola</i> (ALCOCK, 1898) D. I., Formation de Nariva, point 17, éch. K. R. 25953. (SA 1458)	718
Fig. 6	<i>Yarella blackfordi</i> GOODE & BEAN, 1885 G. I., actuel, au large de Guyana. (coll. D. Nolf)	718
Fig. 7	Photichthyidae ind. G. I., Formation de Nariva, point 17, éch. K. R. 25953. (SA 1459)	718
Fig. 8-14	<i>Diaphus dumerili</i> BLEEKER, 1856 8 G. I., Formation de Nariva, point 17, éch. K. R. 25953. (SA 1460) 9 D. I., Formation de Nariva, point 17, éch. K. R. 25953. (SA 1461) 10 D. I., Formation de Nariva, point 17, éch. K. R. 25953. (SA 1462) 11 D. I., Formation de Brasso, point 20, éch. Cb. 1852. (SA 1463) 12 D. I., Formation de Brasso, point 20, éch. Cb. 1852. (SA 1464) 13 G. I., actuel, Atlantique Ouest. (coll. J. E. Fitch). 14 D. I., actuel, Atlantique Ouest. (coll. J. E. Fitch).	719
Fig. 15	<i>Diaphus termophilus</i> TAANING, 1928 D. I., actuel, Atlantique Ouest. (coll. J. E. Fitch).	720
Fig. 16	<i>Diaphus taaningi</i> NORMAN, 1930 G. I., actuel, Atlantique Ouest. (coll. J. E. Fitch).	720
Fig. 17	<i>Diaphus</i> sp. I G. I., Formation de Brasso, point 28, éch. K. R. 6666. (SA 1465)	719
Fig. 18-19	<i>Diaphus</i> sp. II 18 G. I., Formation de Nariva, point 17, éch. K. R. 25942. (SA 1466) 19 D. I., Formation de Nariva, point 17, éch. K. R. 25942. (SA 1467)	720



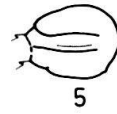
Saurida aff. caribbaea BREDER, C.M., 1927



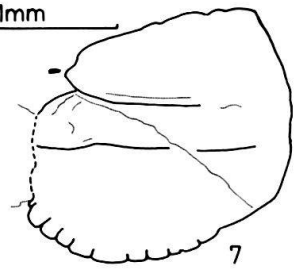
1mm
Polyipnus sp.



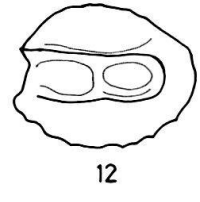
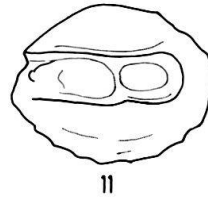
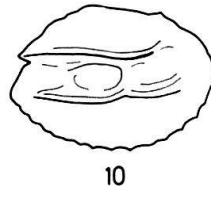
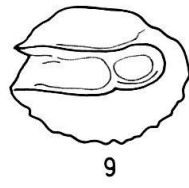
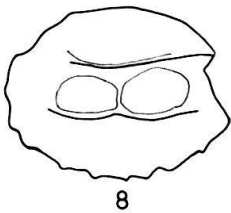
1mm
Yarella blackfordi
GOODE, G.B., et BEAN, T.H., 1885



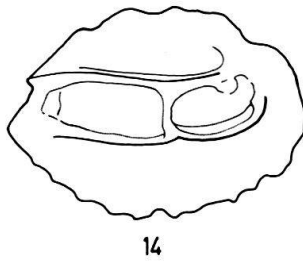
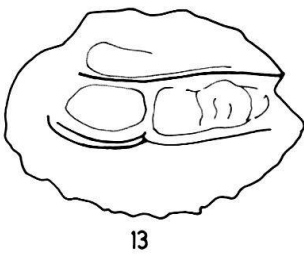
1mm
Polymetme cf. corythaeola
(ALCOCK, A.W., 1898)



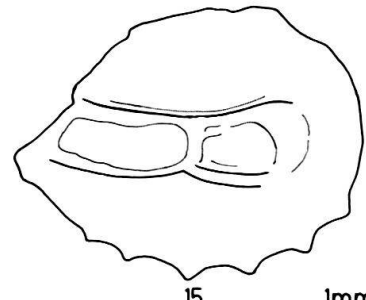
1mm
Photichyidae ind.



1mm



Diaphus dumerili (BLEEKER, P., 1856)



Diaphus termophilus TAANING, A.V., 1928



1mm
Diaphus taaningi
NORMAN, J.R., 1930



1mm
Diaphus sp. I

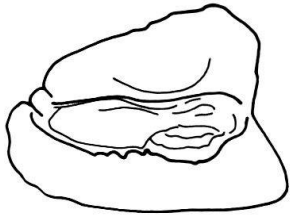


1mm
Diaphus sp. II



Planche IV

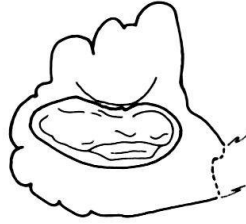
Fig. 1	<i>Porichthys notatus</i> GIRARD, 1854 actuel, au large du Vénézuéla. (coll. D. Nolf).	721
Fig. 2-4	<i>Porichthys</i> sp. 2 D. I., Formation de Brasso, point 28, éch. K. R. 6666. (SA 1468) 3 D. I., Formation de Brasso, point 28, éch. K. R. 6666. (SA 1469) 4 G. I., Formation de Nariva, point 17, éch. K. R. 25957. (SA 1470)	721
Fig. 5	<i>Perulibatrachus rossignoli</i> (ROUX, 1957) G. I., actuel, côte africaine. (coll. I. R. S. N. B.).	720
Fig. 6	«genus aff. <i>Perulibatrachus</i> » sp. G. I., Formation de Manzanilla, point 7, éch. K. R. 7574. (SA 1471)	720
Fig. 7	<i>Thalassophryne natterei</i> STEINDACHNER, 1876 D. I., actuel, au large de Tobago. (coll. D. Nolf).	721
Fig. 8-10	<i>Thalassophryne</i> sp. 8 G. I., Formation de Brasso, point 28, éch. K. R. 6666. (SA 1472) 9 G. I., Formation de Springvale, point 18, éch. K. R. 11862. (SA 1473) 10 G. I., Formation de Tamana, ou base de la Formation de Manzanilla, point 3 (SA 1474)	721
Fig. 11-12	<i>Gadella maraldi</i> (Risso, 1810) 11 G. I., actuel, au large de Tortugas. (coll. D. Nolf). 12a D., profil en vue dorsale, actuel, au large de Tortugas. (coll. D. Nolf). 12b ibidem, D. I.	723
Fig. 13	<i>Gadella</i> sp. 13a G., profil en vue dorsale. Formation de Nariva, point 17, éch. K. R. 25953. (SA 1534) 13b ibidem, G. I.	723
Fig. 14	Antennariidae ind. D. I., Formation de Manzanilla, point 12, éch. 25973. (SA 1475)	722
Fig. 15-18	<i>Bregmaceros</i> sp. 15 Formation de Manzanilla, point 16, éch. K. R. 10842. (SA 1476) 16 Formation de Manzanilla, point 16, éch. K. 12054. (SA 1477) 17 Formation de Brasso, point 20, éch. Cb. 1852. (SA 1478) 18 Formation de Nariva, point 17, éch. K. R. 25953. (SA 1479)	722



1

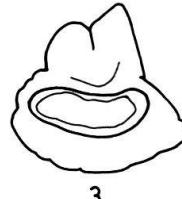
1mm

Porichthys notatus
GIRARD, C.F., 1859



2

Porichthys sp.



3



4

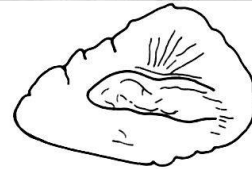
1mm



1mm

5

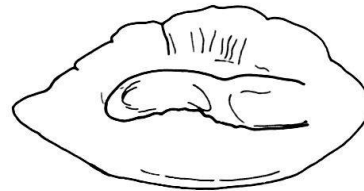
Perulibatrachus rossignoli
(ROUX, C., 1957)



6

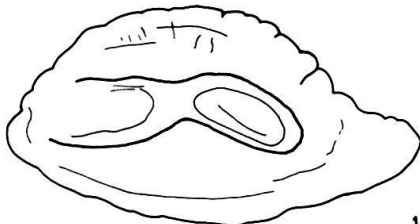
1mm

„genus aff. *Perulibatrachus*.” sp.



8

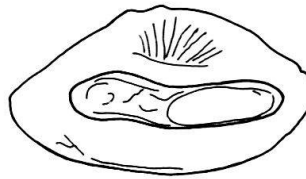
1mm



7

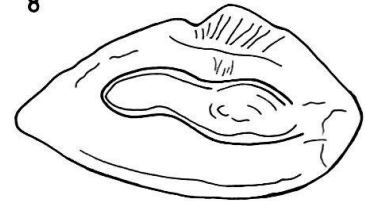
1mm

Thalassophryne natterei
STEINDACHNER, F., 1876

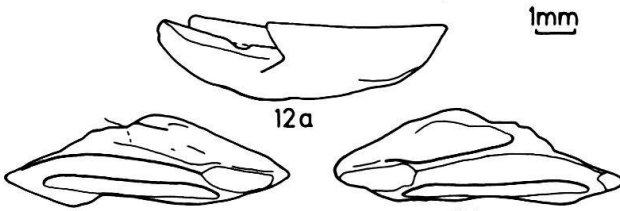


9

Thalassophryne sp.



10



11

12a

12b

1mm

Gadella maraldi (RISSO, A., 1810)



13a



13b

1mm

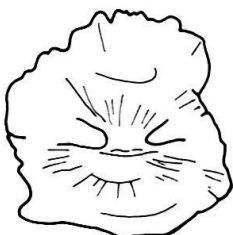
Gadella sp.



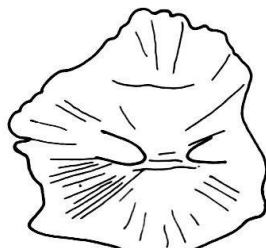
14

1mm

Antennariidae ind.



15



16

1mm



17

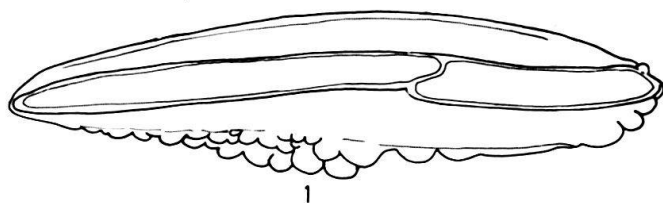
Breamaceros sp.



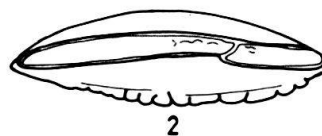
18

Planche V

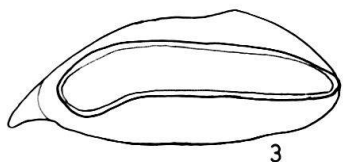
Fig. 1-2	<i>Brotula barbata</i> (SCHNEIDER, 1801)	723
	1 G. I., actuel, au large du Zaïre. (coll. D. Nolf).	
	2 G. I., Formation de Nariva, point 17, éch. K. R. 25953. (SA 1480)	
Fig. 3	<i>Lepophidium prorates</i> (JORDAN & BOLLMAN, 1889)	724
	G. I., actuel, Pacifique, au large de Panama. (coll. D. Nolf).	
Fig. 4	<i>Lepophidium microlepis</i> GILBERT, 1890	724
	D. I., actuel, au large de la Californie. (coll. F. C. Stinton).	
Fig. 5-7	<i>Lepophidium</i> sp.	723
	5a G., profil vu du coté ventral. Formation de Tamana, point 5, éch. K. 12163. (SA 1481)	
	5b ibidem, G. I.	
	6 G. I., Formation de Manzanilla, point 16, éch. K. 10842. (SA 1482)	
	7 D. I., Formation de Brasso, point 23, éch. K. 1875. (SA 1483)	
Fig. 8	<i>Neobythites malayanus</i> WEBER, 1913	725
	G. I., actuel, au large de l'Indonésie. (coll. D. Nolf).	
Fig. 9	<i>Lepophidium</i> sp. II	724
	G. I., Formation de Manzanilla, point 22, éch. S. M. 1399. (SA 1484)	
Fig. 10-11	<i>Neobythites</i> aff. <i>malayanus</i> WEBER, 1913	724
	10 G. I., Formation de Brasso, point 11, éch. 1852. (SA 1485)	
	11a G. I., Formation de Brasso, point 11, éch. 1852. (SA 1486)	
	11b ibidem; profil, vu du coté ventral.	
Fig. 12	<i>Neobythites</i> sp.	725
	12a G. I., Formation de Brasso, point 20, éch. Cb. 1852. (SA 1487)	
	12b ibidem, profil, vu du coté ventral.	
Fig. 13	<i>Neobythites fasciatus</i> SMITH & RADCLIFFE, 1913	725
	G. I., actuel, au large du Japon. (coll. F. C. Stinton).	
Fig. 14	Ophidiidae ind.	725
	G. I., Formation de Manzanilla, point 22, éch. S. M. 1399. (SA 1488)	



Brotula barbata (SCHNEIDER, J.G., 1801)



1mm



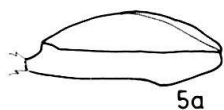
1mm

Lepophidium prorates
(JORDAN, D.S., et BOLLMAN, C.H., 1889)



1mm

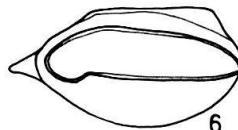
Lepophidium microlepis
GILBERT, C.H., 1890



5a



5b

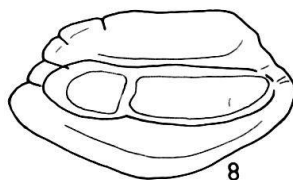


6



7

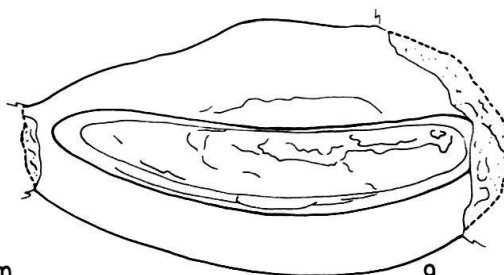
Lepophidium sp. I



8

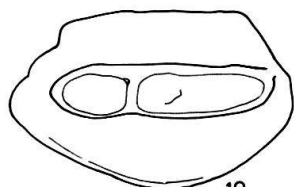
1mm

Neobythites malayanus WEBER, M., 1913

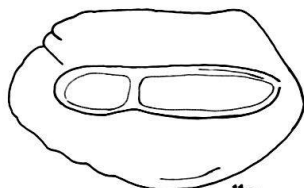


1mm

Lepophidium sp. II



10

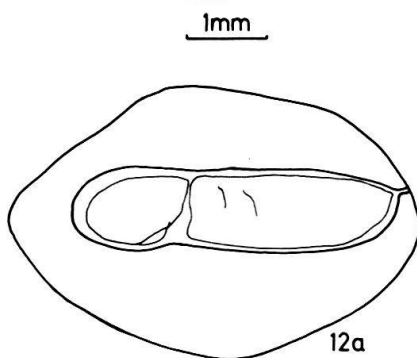


11a

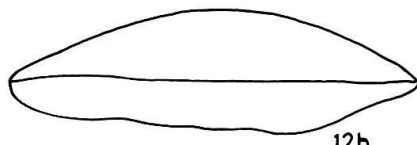


11b

Neobythites aff. *malayanus*

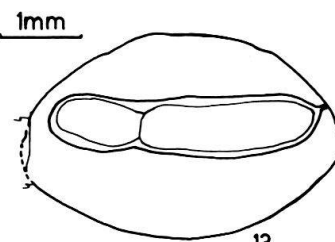


12a



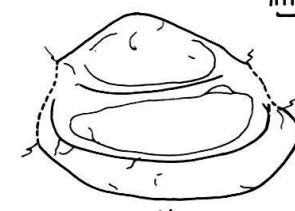
12b

Neobythites sp.



13

Neobythites fasciatus
(SMITH, H., et RADCLIFFE, L., 1913)

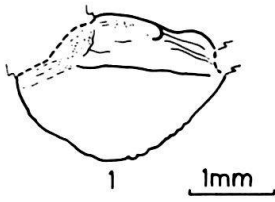


14

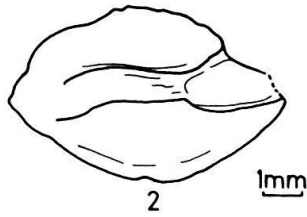
Ophiidiidae ind.

Planche VI

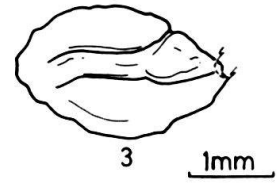
Fig. 1	? <i>Myripristis</i> sp. D.I., Formation de Brasso, point 28, éch. K. R. 6666. (SA 1489)	725
Fig. 2	<i>Neanthias accraensis</i> NORMAN, 1831 G.I., actuel, côtes du Zaïre. (coll. D. Nolf).	726
Fig. 3	<i>Neanthias</i> sp. G.I., Formation de Brasso, point 20, éch. Cb. 1852. (SA 1490)	726
Fig. 4-5	<i>Apogon</i> sp. I 4 G.I., Formation de Brasso, point 10, éch. K. R. 9247. (SA 1491) 5 D.I., Formation de Nariva, point 17, éch. K. R. 25953. (SA 1492)	726
Fig. 6-8	<i>Apogon</i> sp. II 6 D.I., Formation de Brasso, point 28, éch. K. R. 6666. (SA 1493) 7 D.I., Formation de Brasso, point 28, éch. K. R. 6666. (SA 1494) 8 D.I., Formation de Brasso, point 28, éch. K. R. 6666. (SA 1495)	726
Fig. 9	<i>Epigonus trewavasae</i> POLL, 1954 G.I., actuel, au large de Casablanca. (coll. D. Nolf).	727
Fig. 10	<i>Epigonus</i> sp. G.I., Formation de Nariva, point 17, éch. K. R. 25953. (SA 1496)	727
Fig. 11	Carangidae ind. D.I., Formation de Nariva, point 17, éch. K. R. 25953. (SA 1497)	727
Fig. 12	«genus Sparidarum» sp. I G.I., Formation de Brasso, point 27, éch. K. R. 6666. (SA 1498)	728
Fig. 13	«genus Sparidarum» sp. II G.I., Formation de Brasso, point 8, éch. K. R. 7546. (SA 1499)	728
Fig. 14	Mullidae ind. G.I., Formation de Brasso, point 8, éch. K. R. 7546. (SA 1500)	735
Fig. 15-16	<i>Pomadasys</i> sp. 15 G.I., Formation de Brasso, point 20, éch. Cb. 1848. (SA 1501) 16 D.I., Formation de Brasso, point 11, éch. Cb. 1855. (SA 1502)	728
Fig. 17-18	<i>Haemulon</i> sp. 17 D.I., Formation de Manzanilla, point 30, éch. 1633. (SA 1503) 18 D.I., Formation de Manzanilla, point 30, éch. 1633. (SA 1504)	727



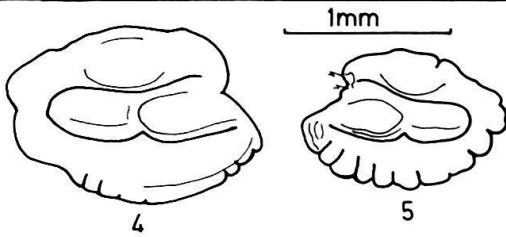
?*Myripristis* sp.



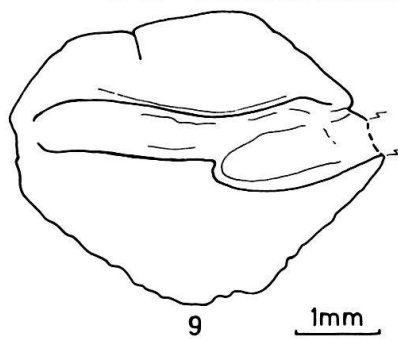
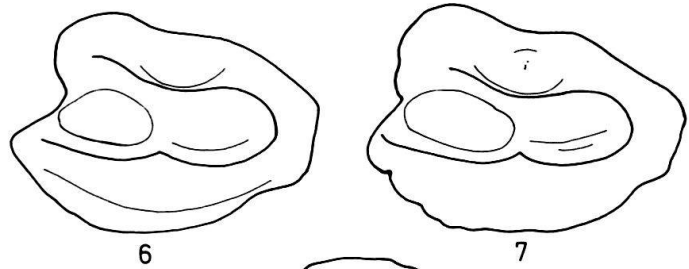
Neanthias accraensis
NORMAN, J.R., 1931



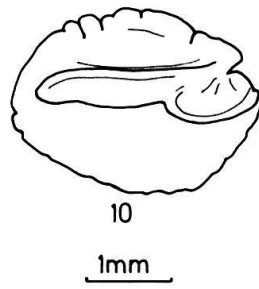
Neanthias sp.



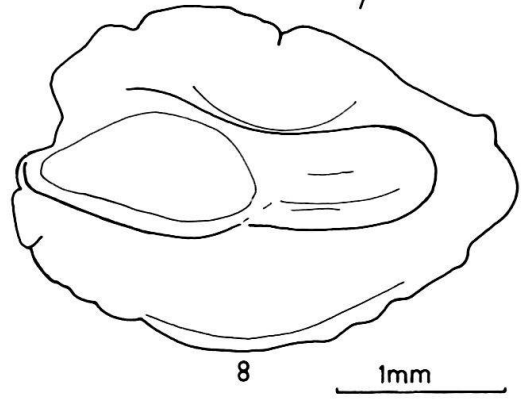
Apogon sp. I



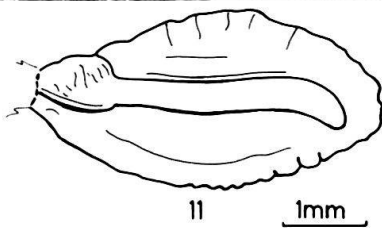
Epigonus trewavasae
POLL, M., 1959



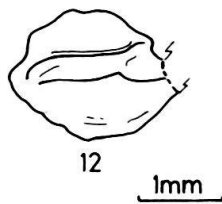
Epigonus sp.



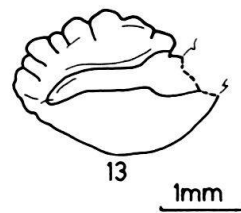
Apogon sp. II



Carangidae ind.



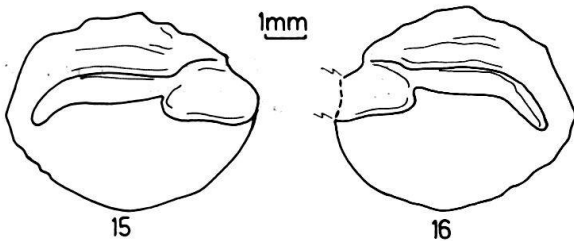
„genus Sparidarum.”
sp. I



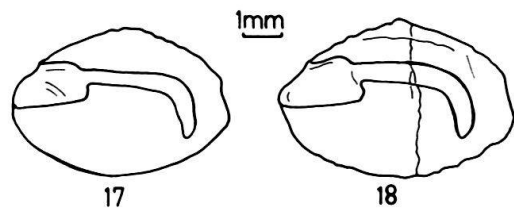
„genus Sparidarum.” sp. II



Mullidae ind.



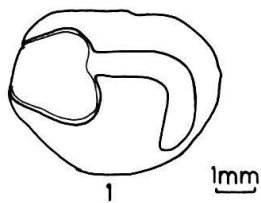
Pomadasys sp.



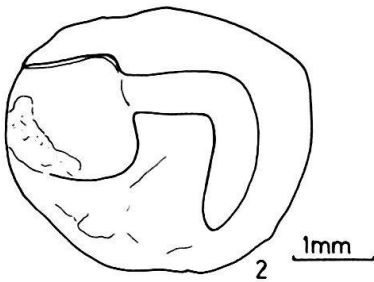
Haemulon sp.

Planche VII

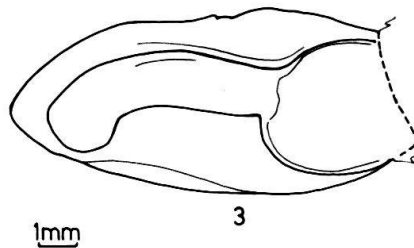
Fig. 1	<i>Ctenosciaena gracilicirrhus</i> METZELAAR, 1919 D.I., actuel, côtes du Brésil. (coll. D. Nolf).	729
Fig. 2	<i>Ctenosciaena aff. gracilicirrhus</i> METZELAAR, 1919 D.I., Formation de Nariva, point 17, éch. K. R. 25953. (SA 1505)	729
Fig. 3	<i>Cynoscion</i> sp. G.I., Formation de Manzanilla, point 25, éch. Cb. 1633. (SA 1506)	729
Fig. 4	<i>Isopisthus</i> sp. G.I., Equivalent de la Formation de Springvale, point 1, éch. à 603 ft. (SA 1507)	730
Fig. 5	<i>Cynoscion arenarius</i> GINSBURG, 1929 G.I., actuel, Golfe du Mexique. (coll. D. Nolf).	729
Fig. 6	<i>Isopisthus parvipinnis</i> CUVIER, 1830 G.I., actuel, côtes du Brésil. (coll. D. Nolf).	730
Fig. 7	<i>Larimus fasciatus</i> HOLBROOK, 1855 G.I., actuel, côtes de la Floride. (coll. J. E. Fitch).	731
Fig. 8-10	<i>Larimus breviceps</i> CUVIER, 1830 8 G.I., actuel, côtes du Vénézuéla. (coll. D. Nolf). 9 G.I., Formation de Manzanilla, point 22, éch. S. M. 1399. (SA 1508) 10 D.I., Formation de Tamana, ou base de la Formation de Manzanilla, point 3, éch. Cb. 2076. (SA 1509)	730
Fig. 11	<i>Larimus</i> sp. D.I., Formation de Manzanilla, point 14, éch. K. 12301. (SA 1510)	731
Fig. 12	<i>Macrodon ancylodon</i> (SCHNEIDER, 1801) G.I., actuel, côtes de l'Argentine. (coll. D. Nolf).	731
Fig. 13	<i>Macrodon</i> sp. G.I., Formation de Manzanilla, point 24, éch. K. 9833. (SA 1511)	731



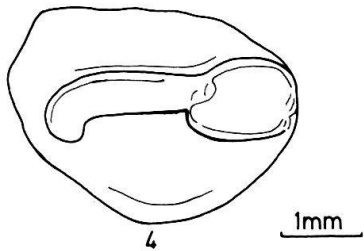
1
Ctenosciaena gracilicirrhus
METZELAAR, J., 1919



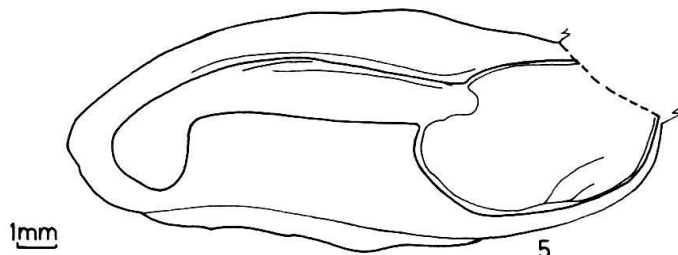
2
Ctenosciaena aff. gracilicirrhus
METZELAAR, J., 1919



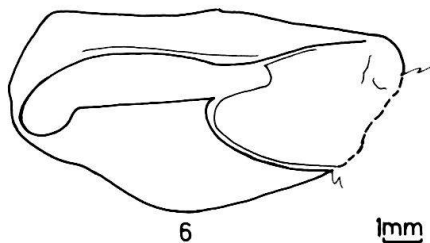
3
Cynoscion sp.



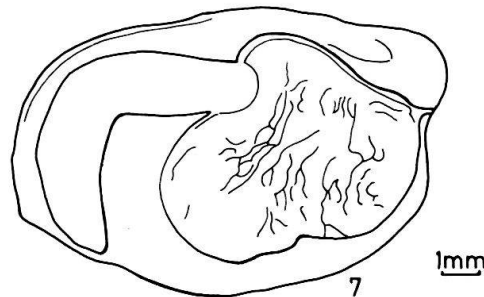
4
Isopisthus sp.



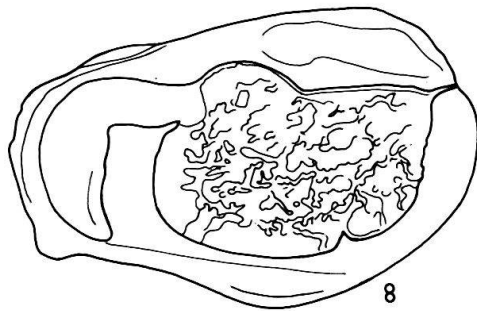
5
Cynoscion arenarius GINSBURG, I., 1929



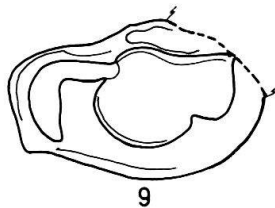
6
Isopisthus parvipinnis (CUVIER, G., 1830)



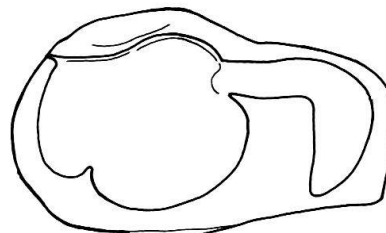
7
Larimus fasciatus HOLBROOK, J. E., 1855



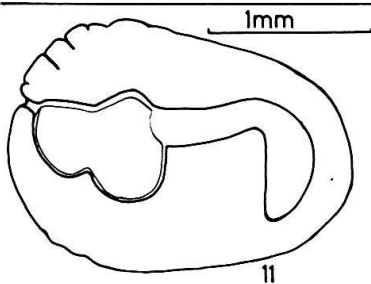
8
Larimus breviceps CUVIER, G., 1830



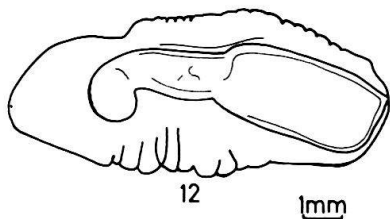
9



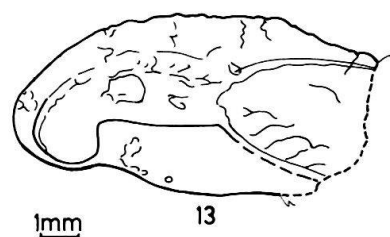
10
1mm



11
Larimus sp.



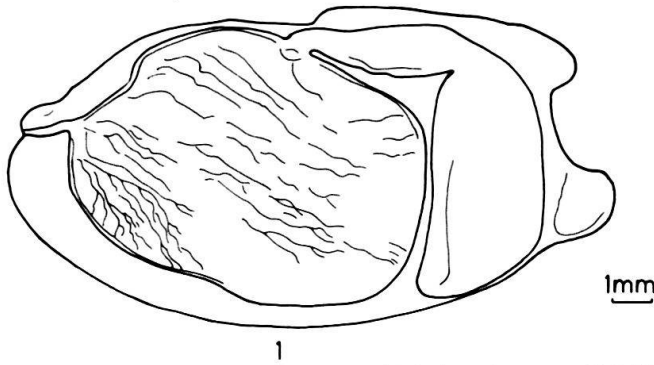
12
Macrodon ancylodon
(SCHNEIDER, J. G., 1801)



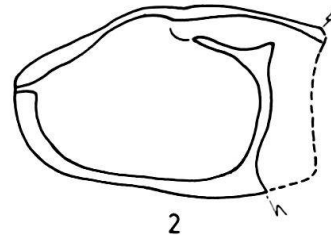
13
Macrodon sp.

Planche VIII

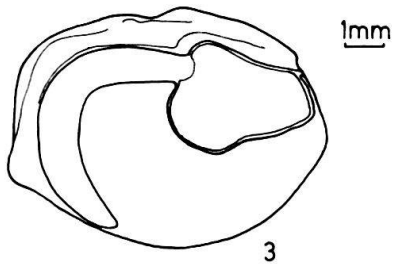
Fig. 1-2	<i>Nebris microps</i> CUVIER, 1838 1 actuel, côtes du Vénézuéla. (coll. D. Nolf). 2 Formation de Tamana, ou base de la Formation de Manzanilla, point 3, éch. Cb. 2076. (SA 1512)	732
Fig. 3	<i>Pachypops fourcroi</i> (LACEPEDE, 1802) actuel, Brésil. (coll. D. Nolf).	732
Fig. 4-5	«genus aff. <i>Pachypops</i> » sp. 4 G.I., Formation de Manzanilla, point 22, éch. S. M. 1399. (SA 1513) 5 G.I., Formation de Manzanilla, point 25, éch. Cb. 1633. (SA 1514)	732
Fig. 6	<i>Plagioscion squamosissimus</i> HECKEL, 1840 D. I., actuel, Guyana, (coll. British Museum N. H.).	733
Fig. 7	<i>Plagioscion</i> sp. D. I., Formation de Gros Morne, point 19, éch. K. 12059. (SA 1515)	733
Fig. 8	<i>Polyclemus brasiliensis</i> (STEINDACHNER, 1875) D. I., actuel, côtes du Brésil. (coll. British Museum N. H.).	733
Fig. 9	<i>Polyclemus</i> sp. D. I., Formation de Manzanilla, point 25, éch. Cb. 1633. (SA 1516)	733
Fig. 10	<i>Sigmurus vermicularis</i> (GUNTHER, 1868) G. I., actuel, Pacifique, au large de Panama. (coll. D. Nolf)	734
Fig. 11-13	<i>Sigmurus</i> sp. 11 G. I., Formation de Tamana, ou base de la Formation de Manzanilla, point 3, éch. Cb. 2076. (SA 1517) 12 G. I., Formation de Tamana, ou base de la Formation de Manzanilla, point 3, éch. Cb. 2076. (SA 1518) 13 D. I., Formation de Manzanilla, point 25, éch. Cb. 1633. (SA 1519)	733



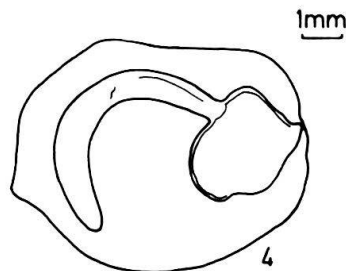
1
Nebris microps CUVIER, G., 1830



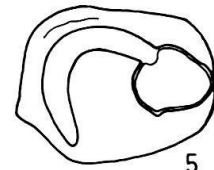
2



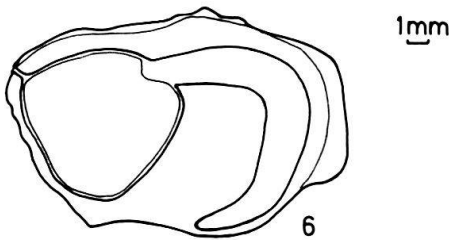
3
Pachypops fourcroi
(LACEPEDE, B., 1802)



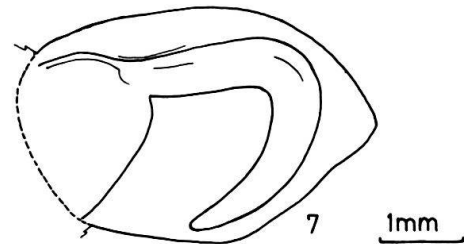
4
„genus aff. *Pachypops*” sp.



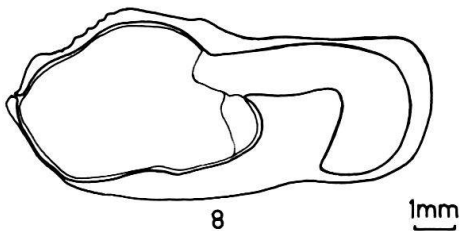
5



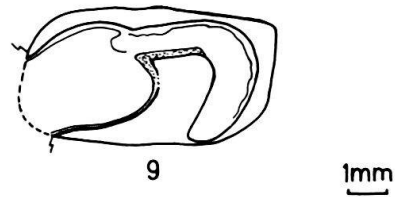
6
Plagioscion squamosissimus
HECKEL, J.J., 1840



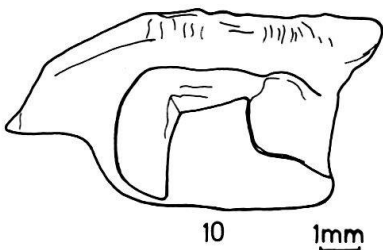
7
Plagioscion sp.



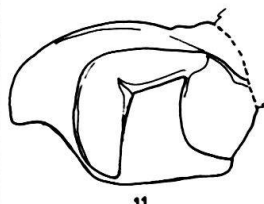
8
Polyclemus brasiliensis
(STEINDACHNER, F., 1875)



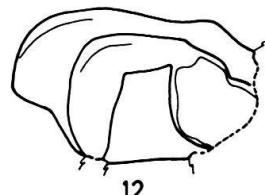
9
Polyclemus sp.



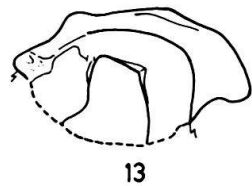
10
Sigmurus vermicularis
(GÜNTHER, A., 1868)



11



12

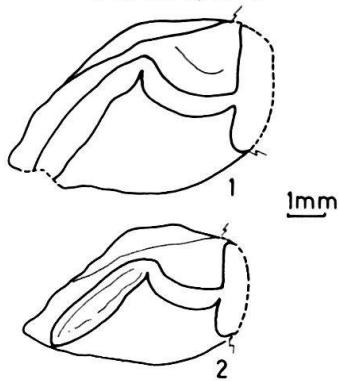


13

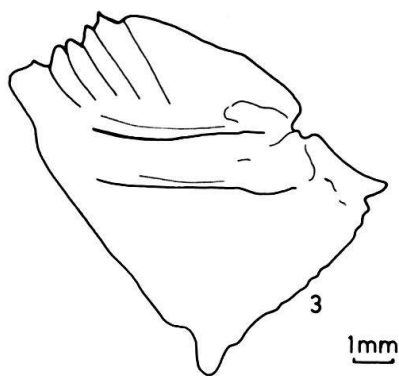
13
Sigmurus sp.

Planche IX

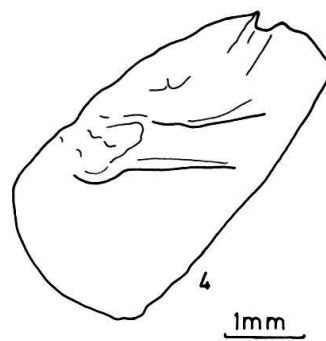
Fig. 1-2	«genus Sciaenidarum» sp. 1 G.I., Formation de Manzanilla, point 25, éch. Cb. 1633. (SA 1520) 2 G.I., Formation de Manzanilla, point 25, éch. Cb. 1633. (SA 1521)	734
Fig. 3	<i>Bathyclupea hoskynii</i> ALCOCK, 1891 G.I., actuel, Golfe d'Aden. (coll. D. Nolf).	735
Fig. 4	<i>Bathyclupea</i> sp. D.I., Formation de Nariva, point 17, éch. K. R. 25953. (SA 1522)	735
Fig. 5	«genus Percoideorum» sp. D.I., Formation de Brasso, point 11, éch. Cb. 1855. (SA 1523)	736
Fig. 6-7	Gobiidae 6 G.I., Formation de Brasso, point 8, éch. K. R. 7546. (SA 1524) 7 G.I., Formation de Nariva, point 17, éch. K. R. 25956. (SA 1525)	737
Fig. 8	<i>Opistognathus aurifrons</i> JORDAN & THOMPSON, 1905 G.I., actuel, au large de Puerto Rico. (coll. J. E. Fitch).	736
Fig. 9-11	<i>Lonchistium</i> sp. 9 G.I., Formation de Brasso, point 18, éch. K. R. 6666. (SA 1526) 10 D.I., Formation de Brasso, point 18, éch. K. R. 6666. (SA 1527) 11 D.I., Formation de Brasso, point 23, éch. Cb. 1875. (SA 1528)	736
Fig. 12	<i>Citharichthys</i> sp. D.I., Formation de Morne l'Enfer, point 21, éch. K. 12013. (SA 1529)	737
Fig. 13	<i>Citharichthys stygmaeus</i> JORDAN & GILBERT, 1882 D.I., actuel, côtes de la Californie. (coll. D. Nolf).	738
Fig. 14	«genus Pleuronectiformorum» sp. I D.I., Formation de Nariva, point 28, éch. K. R. 6666. (SA 1530)	738
Fig. 15	«genus Pleuronectiformorum» sp. II D.I., Formation de Springvale, point 18, éch. K. R. 11862. (SA 1531)	738
Fig. 16	«genus Soleidarum» sp. 16a G.I., Formation de Brasso, point 20, éch. Cb. 1848. (SA 1532) 16b G., ibidem, profil en vue ventrale.	738
Fig. 17	<i>Symphurus</i> sp. G.I., Formation de Manzanilla, point 17, éch. K. 18054. (SA 1533)	739
Fig. 18-19	<i>Symphurus nigrescens</i> RAFINESQUE, 1810 18 G.I., actuel, au large de Casablanca. (coll. D. Nolf). 19 D.I., actuel, au large de Casablanca. (coll. D. Nolf).	739



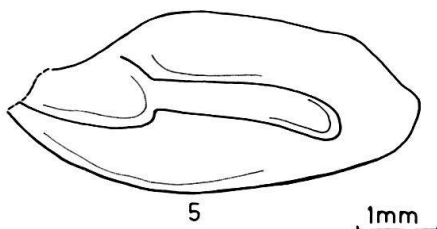
„genus Sciaenidarum.” sp.



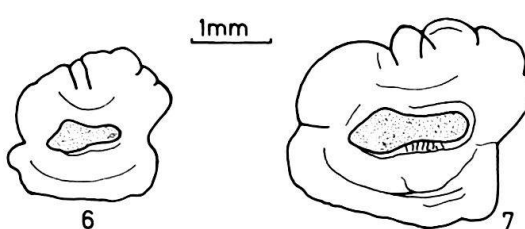
Bathyclupea hoskynii ALCOCK, A.W., 1891



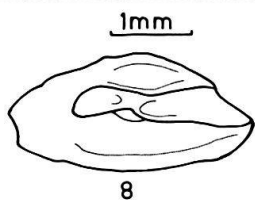
Bathyclupea sp.



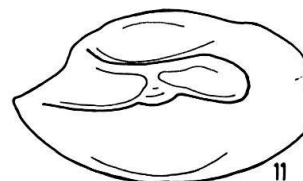
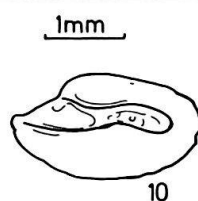
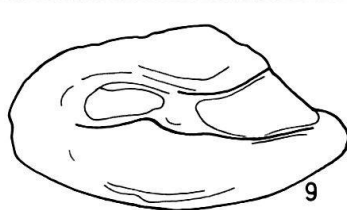
„genus Percoideorum.” sp.



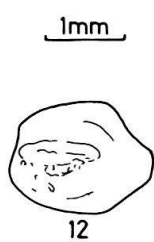
Gobiidae



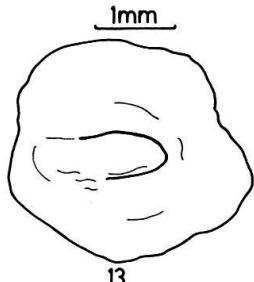
Opistognathus aurifrons
JORDAN, D.S., et THOMPSON,
J.C., 1905



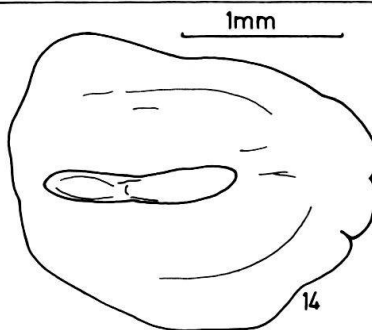
Lonchistium sp.



Citharichthys sp.



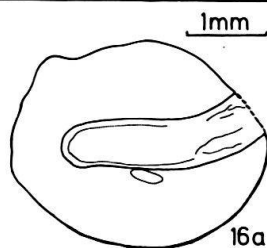
Citharichthys stygmaeus
JORDAN, D.S., et GILBERT,
C.H., 1882



„genus Pleuronectiformorum.” sp. I



„genus Pleuronecti-
formorum.” sp. II

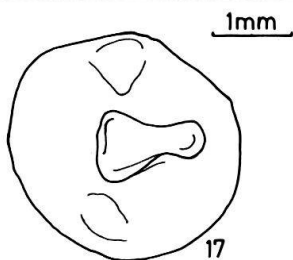


16a



16b

„genus Soleidarum.” sp.



Symphurus sp.



18

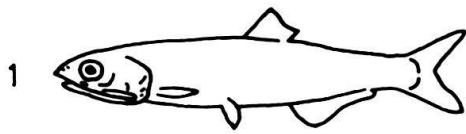


19

Symphurus nigrescens RAFINESQUE, C., 1810

Planches X-XII

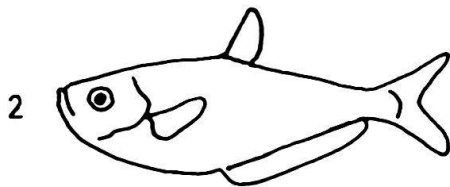
Aspect général des familles de Téléostéens (telles que déterminées d'après leurs otolithes) du Néogène de Trinidad. Dessins d'après GREENWOOD, ROSEN, WEITZMAN & MYERS (1966).



Engraulidae



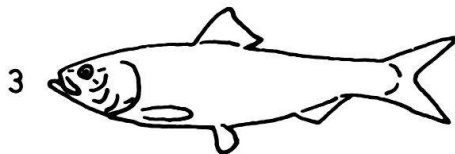
Ariidae



Perigasteridae



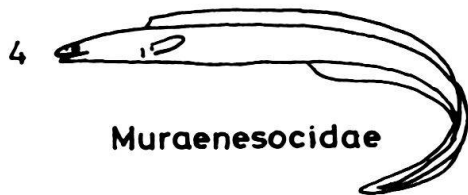
Sternoptychidae



Clupeidae



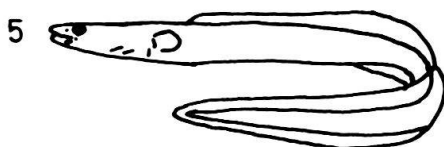
Photichthyidae



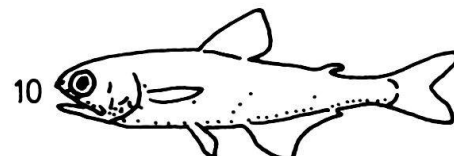
Muraenesocidae



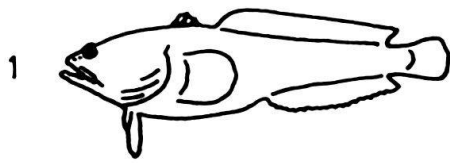
Synodontidae



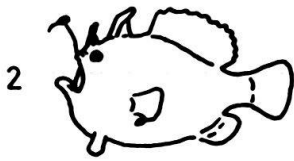
Congridae



Myctophidae



Batrachoididae



Antennariidae



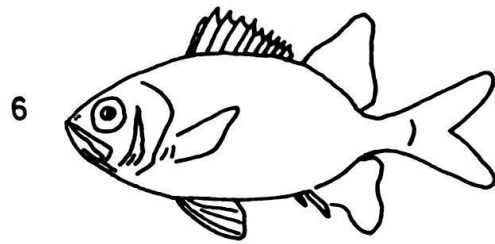
Bregmacerotidae



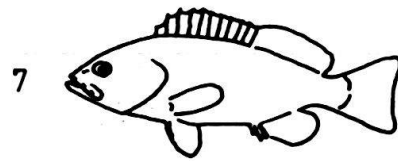
Eretmophoridae



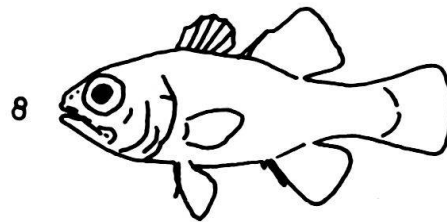
Ophidiidae



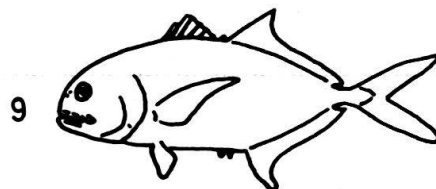
Myripristidae



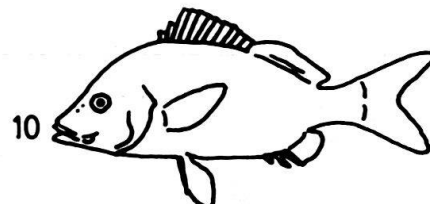
Serranidae



Apogonidae



Carangidae



Pomadasyidae

